

**APEKSKARDİYOGRAFİK OLARAK HESAPLANAN DİYASTOLİK
AMPLİTÜT ZAMAN İNDEKSİNİN HEMODİNAMİK VE ANJİOGRAFİK
OLARAK HESAPLANAN SOL VENTRİKÜL KOMPLİANS VE
SERTLİĞİ İLE İLİŞKİSİ**

Dr. Yusuf Bahadır x

Dr. Necip Alp xx

Dr. Sebahattin Ateşal xxx

ÖZET

Atatürk Üniversitesi Tıp Fakültesi Kardiyoloji Bilim Dalında yapılan bu çalışmada 10 normal ve koroner kalp hastalığı olan 20 olguda hemodinamik ve anjiografik yöntemlerle hesaplanan sol ventrikül diyastolik komplians ve sertliği ile apeskardiyografiden hesaplanan parametreler arasındaki ilişkiler araştırıldı.

Normal grupta diyastolik amplitüt zaman indeksi (DATI) ortalaması 0.85 ± 0.32 hasta grupta 0.49 ± 0.15 idi ve aralarında anlamlı fark vardı ($p < 0.001$). Bu indeks normal grupta dV/VdP ile ($r: +0.95$), spesifik komplians ile ($r: +0.96$), dP/dV ile ($r: -0.54$); hasta grupta ise dP/dV p ile ($r: +0.95$), spesifik komplians ile ($r: +0.95$), dP/dV ile ($r: -0.81$) önemli ilişki gösterdi.

Bu çalışma ile kalp hastalarında DATI'nın ventrikül komplians ve sertliğini yansıtabileceği böylece, ventrikül fonksiyonları hakkında bilgi verebileceğini, bu nedenle de kalp hastalarının takibinde yararlı olabileceği sonucuna varılmıştır.

GİRİŞ ve AMAÇ :

Kalp hastalıklarının tedavisinde cerrahi yöntemlerin etkisi gün geçtikçe artmaktadır. Cerrahi girişimlerdeki başarı, uygun hasta seçimi ve hastaların ameliyat öncesi değerlendirilmeleri ile yakından ilgilidir. Kalp hastalıklarının tedavisinde ulaşılan başarılar ve kardiyak cerrahideki yaygınlaşma bu hastaların

x Atatürk Üniv. Tıp Fak. Kardiyoloji Bilim Dalı Öğ. Üye. Yard. Doç. Dr.

xx " " " " " " " " Öğ. Üye. Doç. Dr.

xxx " " " " " " " " Öğ. Üye. Yrd. Doç. Dr.

ameliyat öncesi değerlendirme yöntemlerine ayrı bir önem verilmesine neden olmuştur. Bu hastalar için kalp kateterizasyonu ve angiografik yöntemler bugün de üstün araç olarak kabul edilmektedir. Ancak bunlar kanlı ve pahalı yöntemlerdir. Az da olsa birtakım komplikasyonları yanında aynı hastada tekrarı, gerek hasta, gerekse hekim yönünden bazı güçlükler de göstermektedir. Belkide bu gibi nedenlerden ötürü bir yandan kanlı yöntemler gelişirken, diğer yandan da kansız yöntemler gelişmesine devam etmiştir. Kansız yöntemlerden biri de apekskardiyografi'dir.

Sol ventrikül fonksiyonlarını incelemeye; kansız, uygulaması kolay, tekrarlanabilir ve hasta için zararsız olan apekskardiyografi yaygın kullanım alanı bulmuştur. Sol apekskardiyografi ile sol ventrikül içi hadiselerine ait yararlı bilgiler elde edilebilir. Sol ventrikül rölausyon hızını ve diyastolik kompliansını tayinde yeni bir indeks olan diyastolik amplitüt zaman indeksi (DATI) ileri sürülmüşdür. (1)

Bu çalışmanın amacı, kalp hastalarında apekskardiyografi ile beraber fonokardiyografik ve elektrokardiyografik inceleme yapılarak elde edilen DATI değerinin, hemodinaik ve anjiyografik olarak hesaplanan sol ventrikül komplians ve sertliği ile ilişkisini saptamak ve bu hastaların klinik değerlendirilmesinde DATI'nın ne denli yararlı olacağını araştırmaktır.

GEREÇ ve YÖNTEM

Bu çalışma Atatürk Üniversitesi Tıp Fakültesi Kardiyoloji Bilim Dalına müracaat eden 20 hasta ve 10 normal olgu üzerinde kalp kateterizasyonu, sol ventrikülografi ve koroner anjiyografi incelemeleri ile yapıldı. Tüm olgularda ayrıca apekskardiyografi ile simültane fonokardiyografi ve elektrokardiyografi çekildi.

Normal olgular grup 1 olarak incelendi. Hasta grup ise koroner anjiyografi ile saptanan 15 koroner kalp hastası ve 5 de valvüler kalp hastasından oluşuyordu ve grup 2 olarak incelendi.

Çalışmada incelenen olgular sinüzal ritimliydi ve son bir hafta içinde pozitif ve nefatif inotropik etkisi olan herhangibir ilaç kullanmamışlardı.

Başınçlar sol ventrikülografi ve koroner anjiyografiden önce "Gould-Statham P 23 ID taransdüser" ve "VR-12 Electronics For Medicine, Honeywell Inc." fotografik kaydedicisi ile 50 mm/sn hızla yazdırıldı.

Sol ventrikül volüm hesaplaması için 50-65 cm³ % 76 lik ürografin "Siemens Simtrac DH" otomatik enjektörü ile verilerek 30 derece sağ ön oblik pozisyonda, saniyede 50 frame (Sineanjiyografide her bir görüntü ünitesi) ile tek planda sineanjiyografi yapıldı. Her olgunun sol ventrikül düzeyine 1 cm lik aralıklara bölünmüş izgaralı metal grit yerleştirilerek sine kaydı yapıldı (6,7).

Sol ventrikül volüm hesapları Dodge ve Sandler (8,9) tarafından iki planlı ellipsoid modelle geliştirdikleri ve Greene ve arkadaşlarının (10) belirttileri yöntemle tek plan sağ ön oblik pozisyonu uygulanan "Area-Length" metodu ile sine-anjiyografilerden hesaplandı. Görüntüler "Taga-Arno" aygıtının aracılığı ile metal gritte mevcut karelerin 1 cm lik boyuta rastladığı düzeye getirildi. Ekstrasistoller ve ekstrasistolleri izleyen atımlar kullanılmamak koşulu ile ardi sıra gelen sistol ve diyastol sonu görüntüler bir kağıt üzerine çizildi.

Sistol ve diyastole ait çizimlerde ventrikülün en uzun ekseni olarak aort kökünden geçen doğrunun ortasını ventrikülün en uzak noktasına bireleşiren doğru alındı. Sistol ve diyastol sonunun alanı planimetre ile hesaplandı.

Uzun eksen ve planimetre ile hesaplanan alan Area-Lenght metoduna uygunlandı.

$$V = \frac{\pi}{6} LD^2$$

V : Volüm

L : Ölçülen en uzun eksen

D : Kısa eksen veya genişliğidir. Elips eşitliğinden ($4 A/\pi L$) hesaplanır.

A : Planimetre ile hesaplanan alan

$$\text{Formül kısıtlırsa } V = 0,85 \frac{A^2}{L} \text{ olur.}$$

Hesaplanan volümler, diyastol sonu volümü (DSV), sistol sonu volümü (SSV) ve birinciden ikincinin çıkarılması ile elde edilen atım volümü (AV) Vücut alanına bölünerek düzeltildi. Ejeksiyon fraksiyonu, atım volümü diyastol sonu volümüne bölünerek hesap edildi.

Sol ventrikülün kompliansı ve sertliği literatürde sık kullanılan Gaosch ve arkadaşlarının (2,3,5) logaritmik basınç-volum eğimini içeren formülü kullanılarak hesaplandı. Sol ventrikül kompliansı ve sertliğinin hesaplanabilmesi için basınç -volüm ilişkisinin eğimi olan K yi hesapladık.

$$K = \frac{\ln P - \ln b}{V}$$

LnP : Sol ventrikülün diyastol sonu basıncının logaritması

Ln b : 0,43 logaritması (Konstant b insan kalbinde kolaylıkla elde edilemez.

Fakat hayvan deneylerinde elde edilen ortalama b nin insan kalbine uydugu saptanmıştır(2,5). Sıfır volümde basınç intercep'i b nin değeri 0,43 olarak alındı.)

V : Diyastol sonu volümü ($\text{cm}^3 \text{ m}^{-2}$)

Diyastolik volüm kompliansı, diyastol sonu basınç-volum eğrisinin eğiminin tersidir. Bu nedenle, aşağıdaki formülden hesaplanır.

$$dV/dP = \frac{1}{kP} \text{ (cm}^3/\text{m}^2/\text{mmHg)}$$

Diyastolik komplians diyastol sonu volümüne düzeltildi.

$$dV/VdP = \frac{1}{kP} \times \frac{1}{V} \text{ (mmHg}^{-1}\text{)}$$

Spesifik komplians ise:

$$\frac{\Delta V}{\Delta P} \times \frac{1}{V_{es}} = (\text{mmHg}^{-1}) \text{ den hesaplandı.}$$

Sol ventrikül sertliği kompliansın resiproku olduğundan şöyle hesaplandı:

$$dP/dV = k \times P \text{ (mmHg/cm}^3/\text{m}^2\text{)}$$

Çalışmamızda tüm olguların apekskardiyografik incelemesi hemodinamik incelemeden önce "Electronic for Medicine, Honeywell Inc. ECHO 1V" aygıtı ile kağıt hızı 100 mm/sn ve zaman aralıkları 0,04 sn de yazdırıldı.

Apekskardiyografik inceleme; sol yan yatar durumda ve normal eksprium sonunda fonokardiyografik ve elektrokardiyografik kayıtlarla aynı anda kaydedildi.

Aşağıdaki ölçümler yapıldı (Şekil 1-1).

- 1— Total apekskardiyografik rölausasyon zamanı (TART): Fonodaki A₂ den apekskardiyogramdaki 0 noktasının tepesine kadarki zaman (1,11,12)
- 2— Diyastolik apekskardiyografik rölausasyon zamanı (A₂-C): Fonodaki A₂ den apekskardiyogramın çıkışını belirleyen C noktasına kadar olan zaman (1).
- 3— A dalgasının apekskardiyogramdaki total diyastolik amplitüte oranı (A/D) (1,13,14).

Diyastolik amplitüt zaman indeksi şu formüle göre hesaplandı(1):

$$DATI = (\sqrt{A_2-C}/TART) / (A/D)$$

Ölçümler kalp hızına göre Bazzet formülü ile düzeltildi.

Normal ve hast grup verilerinin istatistikî olarak ortalamalar arası farkının ve parametreler arası aranan korrelasyonların önem kontrolü "t" testi ile yapıldı.

BULGULAR

Çalışmamız 10 normal ve 15 koroner arter hastası ile 5 valvüler kalp hastasını kapsamaktadır.

Grup 1 (Normal grup): Bu grubun tümünde koroner anjiyografi ile koroner arterler normal bulunmuştur. Olguların tümü erkektir. Yaşıları 35-56 arasında değişmekte olup ortalama $41,9 \pm 6,19$ dur. Bu vakalarda kalp hızları (KH) $75,9 \pm 18,76/\text{dak.}$, diyastol sonu basıncı (DSB) $7,25 \pm 1,69 \text{ mmHg}$, erken en düşük di-

yastolik basınç (EEDB) $1,34 \pm 1,05$ mmHg, DSB-EEDB (ΔP) $5,91 \pm 1,85$ mmHg, diyastol sonu volümü (DSV) $98,55 \pm 21,19$ cm 3 /m 2 , sistol sonu volümü (SSV) $22,81 \pm 6,37$ cm 3 /m 2 , atım volümü (AV) $75,74 \pm 16,86$ cm 3 /m 2 , Ejeksiyon fraksiyonu (EF) $0,77 \pm 0,04$, sertlik modülü (k) $0,029 \pm 0,005$, komplians (dV/VdP) $4,93 \pm 0,86$ cm 3 /m 2 /mmHg, düzeltilmiş komplians (dV/VdP) $0,053 \pm 0,015$ mmHg $^{-1}$, spesifik komplians (S.C), $0,611 \pm 0,149$ mmHg $^{-1}$ diyastolik sertlik (dP/dV) $0,21 \pm 0,03$ mmHg/cm 3 /m 2 olarak bulunmuştur. Total apekskardiyografik rölausyon zamanı (TART) $95,39 \pm 3,6$ ms. diyastolik peryod süresi (A $_2$ –C) 525, $33 \pm 111,69$ ms., a dalgasının total diyastolik amplitüde oranı (A/D) $0,31 \pm 0,10$ total apekskardiyografik rölausyon zaman indeksi (TARTI) $0,24 \pm 0,02$, diyastolik amplitüt zaman indeksi de (DATI) $0,85 \pm 0,32$ olarak hesaplanmıştır (Tablo I).

Grup 2(Hasta grubu): Bu grup 4 (%20) kadın, 16 (%80) erkekten olumuştur. Yaş ortalaması $47,2 \pm 9,96$ olup 29 ila 60 arasında değişmekte idi. Bunlarda kalp hızı $83,2 \pm 22,9$ /dak., diyastol sonu basinci $16,62 \pm 10,70$ mmHg, erken en düşük diyastolik basınç $6,95 \pm 8,82$ mmHg, DSB-EEDB $9,67 \pm 4,98$ mmHg, diyastol sonu volümü 124, $72 \pm 63,45$ cm 3 /m 2 , sistol sonu volümü $58,92 \pm 45,69$ cm 3 /m 2 , atım volümü $65,80 \pm 28,05$ cm 3 /m 2 , ejeksiyon fraksiyonu $0,56 \pm 0,15$ sertlik müödüllüsü $0,032 \pm 0,011$ komplians $2,95 \pm 2,00$ (cm 3 /m 2 /mmHg) düzeltilmiş komplians $0,027 \pm 0,019$ mmHg $^{-1}$, spesifik komplians $0,190 \pm 0,127$ mmHg $^{-1}$, diyastolik sertlik $0,51 \pm 0,34$ mmHg/cm 3 /m 2 ve TART 125, $10 \pm 12,69$ ms., A $_2$ –C 474,53 $\pm 172,41$ ms., A/D $0,38 \pm 0,07$ TARTI $0,17 \pm 0,03$ RATI $0,49 \pm 0,15$ olarak bulundu (Tablo I).

Grup 1 ile grup 2nin yaş, kalp hızı, vücut alanı, EEDB, DSV, AV, k ortalamaları arasında anlamlı fark yoktu. Buna karşın ΔP ile A/D ortalamaları arasında ($p < 0,05$) ve DSB, SSB, dP/dV ortalamaları arasında anlamlı ($p < 0,02$) ve EF, dV/dP, dV/VdP, S.C., TART, TARTI, DATI ortalamaları arasında ise çok anlamlı ($p < 0,001$) fark vardı (Tablo I). DATI'nın normal ve hasta gruba ait bireysel değerleri ile grup ortalamaları ve standart sapmaları Şekil 2 de gösterilmiştir.

Çalışma kapsamına alınan vakalarda ayrıca apekskardiyografik parametrelerin çeşitli hemodinamik parametrelerle ilişki gösterip göstermediği de araştırıldı (Tablo 2).

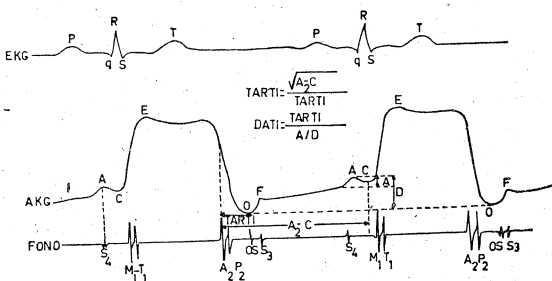
A/D grup 1 de DSB ile $+0,95$, EEDB ile $+0,22$, ΔP ile $+0,74$, DSV ile $+0,81$, SSV ile $+0,75$, k ile $-0,54$, dV/dP ile $-0,71$, dV/VdP ile $-0,95$, dP/dV ile $+0,74$, S.C. ile $-0,97$; grup 2 de DSB ile $+0,91$ EEDB ile $+0,76$ P ile $+0,61$, DSV ile $+0,52$, SSV ile $+0,68$, k ile $-0,04$, dV/dP ile $-0,73$, dV/VdP ile $-0,83$, dP/dV ile $+0,74$, S.C. ile $-0,83$ ilişki gösteriyordu.

TARTI grup 1 de KH ile $-0,90$, DSB ile $-0,91$, ΔP ile $-0,71$, DSV ile $-0,77$ SSV ile $-0,69$, k ile $-0,53$, dV/dP ile $+0,71$, dV/VdP ile $+0,94$, dP/dV ile $-0,74$, S.C. ile $+0,96$; grup 2 de KH ile $-0,51$, DSB ile $-0,76$, ΔP ile $-0,45$ DSV ile $-0,27$, SSV ile $-0,48$, k ile $-0,20$, dV/dP ile $+0,78$, dV/VdP ile $+0,85$, dP/dV ile $-0,77$, S.C. ile $+0,85$ ilişki gösteriyordu.

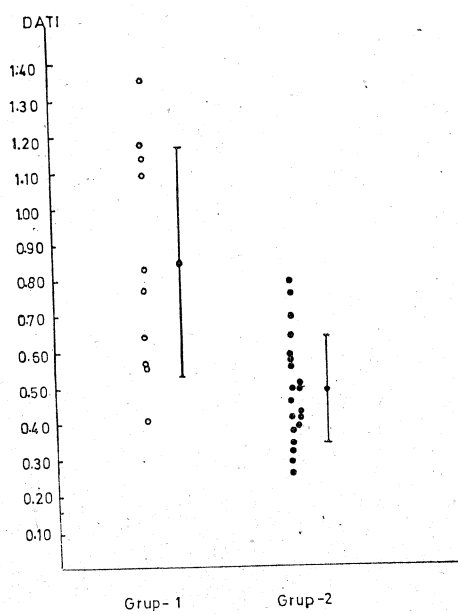
Tablo 2: Grup 1 ile Grup 2 deki apikal kardiyografik ve hemodinamik parametreler arasasındaki korrelasyonlar

		DSB	ΔP	DSV	k	dV/dP	dV/VdP	S.C.	dP/dV
Grup 1 10 Olgı	A/D	r:+0,95 p<0,001	r:+0,74 p<0,02	r:+0,81 p<0,005	r:+0,75 p<0,02	r:-0,54 önemsiz	r:-0,71 p<0,05	r:-0,975 p<0,001	r:+0,974 p<0,012
	TARTI	r:-0,91 p<0,001	r:-0,71 p<0,05	r:-0,77 p<0,01	r:-0,69 p<0,01	r:+0,53 p<0,05	r:+0,71 p<0,05	r:+0,94 p<0,05	r:-0,74 p<0,02
	DATI	r:-0,92 p<0,01	r:-0,74 p<0,02	r:-0,74 p<0,02	r:-0,64 p<0,05	r:+0,47 önemsiz	r:+0,77 p<0,01	r:+0,95 p<0,01	r:+0,96 p<0,01
Grup 2 20 Olgı	A/D	r:+0,91 p<0,001	r:+0,61 p<0,005	r:+0,52 p<0,02	r:+0,68 p<0,001	r:-0,04 önemsiz	r:-0,73 p<0,001	r:-0,83 p<0,001	r:+0,74 p<0,001
	TARTI	r:-0,76 p<0,001	r:-0,45 p<0,05	r:-0,27 önemsiz	r:-0,48 p<0,05	r:-0,20 önemsiz	r:+0,78 p<0,001	r:+0,85 p<0,001	r:-0,77 p<0,001
	DATI	r:-0,85 p<0,01	r:-0,58 p<0,01	r:-0,36 önemsiz	r:-0,56 p<0,01	r:-0,18 önemsiz	r:+0,87 p<0,001	r:+0,095 p<0,001	r:+9,0,95 r:-0,81 p<0,001

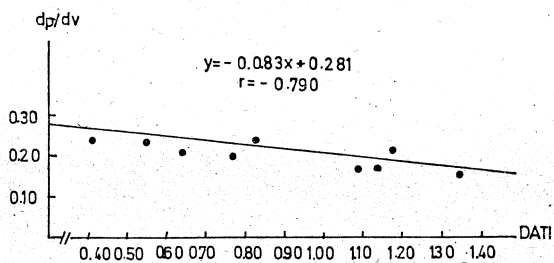
DATI grup 1 de yaş ile $+0,34$, KH ile $-0,89$, DSB ile $-0,92$, EEDB ile $-0,19$, P ile $-0,74$, DSV ile $-0,74$, SSV ile $-0,64$, k ile $+0,47$, dV/dP ile $+0,77$, dV/VdP ile $+0,95$, dP/dV ile $-0,79$, S.C. ile $+0,96$; grup 2 de yaş ile $-0,49$, KH ile $-0,30$ DSB ile $-0,85$, EEDB ile $-0,70$, P ile $-0,59$, DSV ile $-0,36$, SSV ile $-0,56$ k ile $-0,18$ dV/dP ile $+0,89$, dV/VdP ile $+0,95$, dP/dV ile $-0,81$ S.C. ile $+0,95$ ilişki gösteriyordu. DATI ile dP/dV, dV/VdP ve S.C. in grüplardaki regresyon eğrileri Şekil 3,4,5,6,7,8.'de görülmektedir.



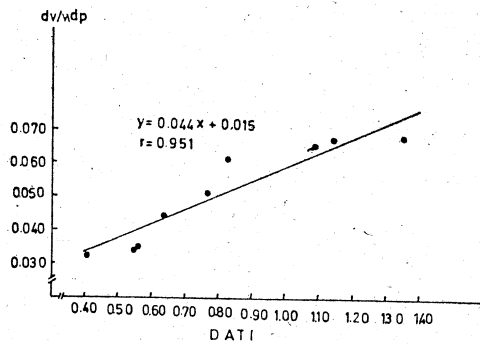
Sekil 1. Apektikardiyografik ölçümelerin şematik görünümü



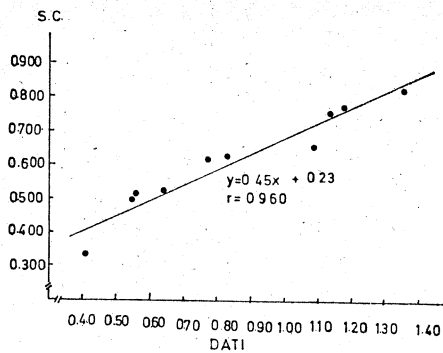
Şekil-2 : DATI'nın Grup 1 ve Grup 2'ye ait bireysel değerleri, grup Ortalamaları ve standart sapmaları görülmektedir.



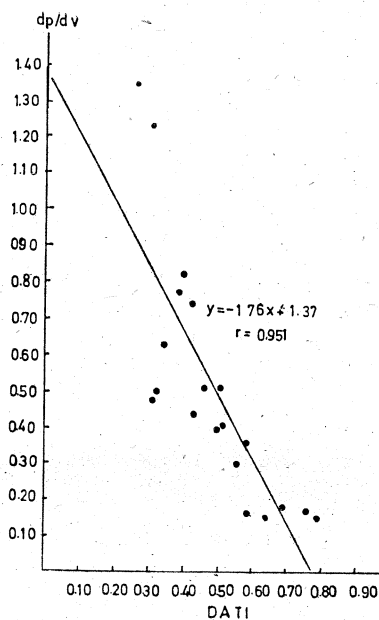
Şekil-3 : Grup 1'de DATI ile dp/dv nin regresyon eğrisinin görüntüsü



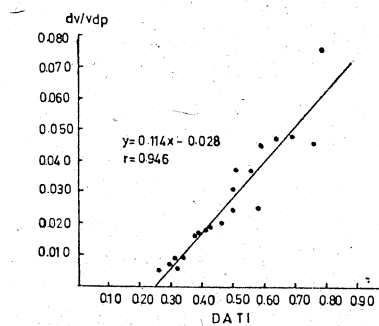
Şekil-4: Grup 1'de DATI ile dv/dp nin regresyon eğrisinin görüntüsü



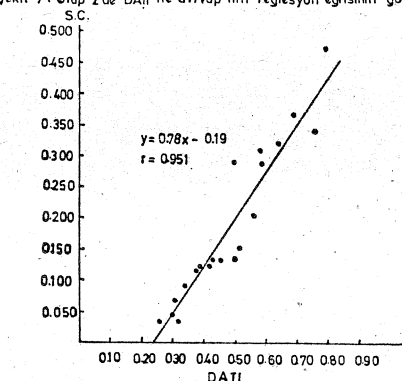
Şekil-5 : Grup 1'de DATI ile S.C. nin regresyon eğrisinin görüntüsü



Şekil- 6: Grup 2'de DATI ile dp/dv nin regresyon eğrisinin görüntüsü



Şekil-7: Grup 2'de DATI ile dv/vdp nin regresyon eğrisinin görüntüsü



Şekil-8: Grup 2'de DATI ile S.C. nin regresyon eğrisinin görüntüsü

TARTIŞMA

Apekskardiyografinin ventrikülün diyastolik özelliği hakkında önemli bilgiler verebileceği birçok çalışmada gösterilmiştir (11,12,15,16,17,18,19,20).

Sol ventrikül fonksyonlarının değerlendirilmesinde apekskardiyografi rölausasyonunun değerli olduğu ilk defa Benchimol ve Ellis (21) tarafından belirtilmiştir. Bu araştırmacılar A₂ den O dalgasının tepesine kadar olan sürenin izovolumetrik rölausasyona eşit olduğun iddia etmişlerdir. Daha sonra Prewitt ve arkadaşları (22) apekskardiyografiyi ekokardiyografi ile simultane olarak kaydederek yaptıkları çalışmada O dalgasının tepesinin ne mitral kapağın açılma anına ne de kapağın maksimum açılış anına uymadığını ileri sürmüştürlerdir. Bu nedenle A₂ den apekskardiyografideki O noktasının tepesine kadar olan sürenin sol ventrikülün izovolumetrik rölausasyonuna uymayalığını iddia etmişlerdir. Manolos (11) ise çalışmada apekskardiyografik zaman intervallerinin sol ventrikül rölausasyon bozukluğunun saptanmasında değerli olduğunu ileri sürmüştür. Yine apekskardiyografiden elde edilen bir çok parametrelerin sol ventrikülün distensibilitesi ile ilgili olduğu gösterilmiştir(18,23).

Apekskardiyografi ile elde edilen bilgilerle sol ventrikülün diyastolik özelliğini değerlendiren tüm çalışmalar ya apekskardiyografideki erken diyastoldeki bulgulara ya da geç diyastoldeki bulgulara aitti. Tüm diyastolik bulguları değerlendirecek sol ventrikül distensibilitesini gösteren apekskardiyografik indeks ise Manolos tarafından geliştirilmiştir. Diyastolik amplitüt zaman indeksi olarak isimlendirilen bu indeks, diyastolik uzunluk için düzeltilmiş total apekskardiyografik rölausasyon zamanı resiprokunun; a daldasının total diyastolik amplitüte oranına bölünmesi ile elde edilir(1).

Total apekskardiyografik rölausasyon zamanı (TART) diyastolik periyodun uzunluğuna bağımlıdır. Bu nedenle de esas olarak kalp hızı ile ilişkilidir. Bündan dolayı biz çalışmamızda rölausasyon zaman intervalini Bazzet formülüne göre diyastolik uzunluk için düzelttik. Buna daha önceki adı geçen çalışmada total apekskardiyografik rölausasyon zaman indeksi (TARTı) dendiği için biz de aynı ismi kullandık.

Total apekskardiyografik rölausasyon zaman indeksi (TARTı) ortalaması normal grupta $0,24 \pm 0,02$ idi. Bu değer literatürdeki değerle uygunluk göstermiştir. Hasta grupta ise $0,17 \pm 0,03$ idi. Hasta grup ile normal grup arasında istatistikî yönden önemli derecede fark ($p < 0,001$) vardı. Total apekskardiyografik rölausasyon zaman indeksi ile istirahatteki kalp hızı arasındaki hem normal grupta ve hem de hasta grupta anlamlı ilişkiler olduğu görüldü (sırası ile $p < 0,001$, $p < 0,05$). Bu bulgular Manolos (1) un çalışması ile uygunluk gösteriyordu.

TARTı; normal grupta ΔP , SSV, DSV ve DSB ile anlamlı ilişki gösterdi ($p < 0,05$, $p < 0,05$, $p < 0,02$, $p < 0,001$). Ayrıca dV/dP , dV/VdP , S.C. ve dP/dV ile önemli derecede ilişkili idi ($p < 0,05$, $p < 0,001$, $p < 0,001$, $p < 0,001$). k ile ilişki

saptayamadık. Hasta grupta ise ΔP , SSV, DSB ile anlamlı ($p<0,05$, $p<0,05$, $p<0,001$) ilişki mevcuttu. Ayrıca dV/dP, dV/VdP, S.C. ve dP/dV ile de çok anlamlı ($p<0,01$) ilişki bulduk. Bu grupta DSV ve k ile ilişki bulmadık. TARTI ile ΔP , SSV, S.C. ve dV/VdP arasındaki ilişki daha önceki çalışma ile uygunluk gösteriyordu(1). Ancak biz dV/dP arasında da anlamlı ilişki bulmamızın karşın Manolos (1)'un çalışmasında böyle bir ilişki yoktu. TARTI ile dP/dV arasındaki ilişkiyi arasındaki ilişkiyi gösteren bir çalışmaya literatürde rastlamadık.

A dalgasının total diyastolik amplitüte oranının (A/D) ortalaması normal grupta $0,31 \pm 0,10$, hasta grupta ise $0,38 \pm 0,07$ idi. Bu iki grup arasında anlamlı fark ($p<0,05$) mevcuttu. Bu bulgular literatüre uygunluk gösteriyordu (1,53).

A/D normal grupta ΔP , DSB, DSV ve SSV ile anlamlı ($p<0,02$, $p<0,001$, $p<0,005$, $p<0,005$, $p<0,02$) ilişki gösterdi. Ayrıca dV/dP, dV/VdP, S.C. ve dP/dV de önemli derecede ilişkili idi ($p<0,02$, $p<0,001$, $p<0,001$, $p<0,02$). k ile ise ilişkili değildi. Hasta grupta ise A/D; ΔP , DSB, DSV, SSV ile anlamlı ilişki gösterdi ($p<0,001$, $p<0,005$, $p<0,02$, $p<0,001$). Ayrıca dV/dP, dV/VdP, S.C. ve dP/dV ile de önemli derecede ($p<0,001$) ilişkili olmasına karşın k ile ilişkili değildi. A/D ile ΔP , DSB, DSV, SSV, S.C. ve dV/VdP arasındaki ilişki literatürdeki bazı çalışmalara uygun gösterirken, (1,7) k değerinde sadece biri ile uygunluk gösterdi(1); diğer ile uygunluk göstermedi(7). A/D ile DSB arasındaki ilişki de Voigt ve Friesinger (6)'in çalışması ile uygunluk göstermemekteydi. Biz dV/dP ile anlamlı ilişki bulmamızın karşın literatürde böyle bir ilişki yoktu (1,7). A/D ile dP/dV arasındaki ilişkiyi gösteren bir çalışmaya literatürde rastlamadık.

Total apektiskardiyografik rölausasyon zaman indeksinin (TARTI) a dalgasının total diyastolik amplitüte oranına (A/D) bölünmesi ile hesap edilen diyastolik amplitüt zaman indeksi (DATI = $\frac{\text{TARTI}}{\text{A/D}}$) istirahat kalp hızı ile normal grupta grupta ($r: -0,89$, $p<0,001$) ; hasta grupta ($r: -0,030$, $p>0,05$), yaş ile normal grupta ($r: +0,34$ $p>0,05$), hasta grupta ($r: -0,49$, $p>0,05$) ilişki gösterdi. DATI ortalaması normal grupta $0,85 \pm 0,32$, hasta grupta $0,49 \pm 0,15$ idi. İki grup arasında önemli derecede fark ($p<0,001$) vardı. Çalışmamızda normal gruptaki hızı ve yaş ile ilişki literatüre uygunluk göstermesine karşın, hasta grupta uygunluk saptayamadık.

DATI normal grupta DSB ile ($r: -0,95$, $p<0,001$), EEDB ile ($r: -0,19$, $p>0,05$), ΔP ile ($r: -0,74$, $p<0,02$), DSV ile ($r: -0,74$, $p<0,02$) $p<0,01$ SSV ile ($r: -0,64$, $p<0,05$) ilişki gösterdi. Ayrıca dV/dP ile ($r: +0,77$, $p<0,01$), dV/VdP ile ($r: +0,95$, $p<0,001$), S.C. ile ($r: 0,96$, $p<0,001$), dP/dV ile ($r: -0,79$, $p<0,01$) ilişki gösterirken, k ile ilişki göstermedi. Hasta grupta ise DSB ile ($r: -0,85$, $p<0,001$), EEDB ile ($r: -0,70$, $p<0,001$), ΔP ile ($r: -0,59$, $p<0,01$), SSV ile ($r: -0,56$, $p<0,01$) ilişki gösterdi. Ayrıca dV/dP ile ($r: +0,89$, $p<0,001$), dV/VdP ile ($r: +0,95$, $p<0,001$), S.C. ile ($r: \pm 0,95$, $p<0,001$), dP/dV

ile ($r = -0,81$ $p < 0,001$) ilişki saptadık. DSV ve k ile ilişki saptayamadık. DATI ile DSB, EEDB, ΔP , SSV, dV/VdP , S.C. arasındaki anlamlı ilişki Manolos(1) un çalışması ile uygunluk göstermektedir. Buna karşın bizim dV/dP arasında bulduğumuz ilişkiyi Manolos saptamamıştır. Literatürde DATI ile dP/dV arasındaki ilişki olduğunu gösteren herhangi bir çalışmaya rastlanamamıştır.

Bu çalışmanın sonuçlarına göre kalp hastaarında apekskardiyografi, sol ventrikülün diyastolik özelliklerinin değerlendirilmesinde faydalı olabilir. Diyastolik amplitüt zaman indeksinin 0,37'nin altındaki değerlerde olduğu tüm hastalar da spesifik komplians ve end diyastolik volüm kompliansı azalmıştı. Bu nedenle en iyi korrelasyon bu parametrelerde görülmüştür.

Çalışmamıza ait sonuçların sol ventrikül miyokardının önemli diyastolik özelliklerinin, kansız bir yöntem olan diyastolik amplitüt zaman indeksi ile değerlendirilebileceğini ortaya koyması açısından yararlı olacağı kanısındayız.

SUMMARY

THE RELATION OF DIASTOLIC AMPLITUDE TIME INDEX CALCULATED APEX CARDIOGRAPHICALLY TO THE VENTRICULAR COMPLIANCE AND STIFFNESS CALCULATED HEMODYNAMICALLY AND ANGIOGRAPHICALLY

In this study performed in Cardiology Deparment of Atatürk University Medical School, 10 controls and 20 patients with coronary heart disease were investigated with respect to the relation of diastolic amplitude time index calculated apexcardiographically to the left ventricular compliance and stiffness calculated hemodynamically and angioraphically.

Normal healthy group had a DATI of 0.85 ± 0.32 and patients 0.49 ± 0.15 ($p < 0.001$). The DATI had a correlation of $r = 0.95$ with dV/Vdp , of $r = 0.96$ with specific compliance, and of $r = -0.74$ with dP/dV in control group; and correlations of $r = 0.95$, $r = 0.95$ and $r = -0.81$ with dV/Vdp , specific compliance, and dP/dV respectively in the patients.

It was concluded that DATI can reflect ventricular compliance and stiffness in patients with coronary heart disease, and DATI can give information about ventricular functions and thus may be helpful in follow-up of these patients.

KAYNAKLAR

- 1- Manolos, J., Rutishauser W.: Diastolic Amplitude Time Index: A new Apex. cardiographic Index of Left Ventricular Diastolic Function in Human Beings. 48: 736-745, 1981.

- 2- Gaasch, W.H., Battle, W.E., Oboler, A.A., Banas, J.S. and Levine, H.J.: Left ventricular compliance and stress in man. With special reference to normalized function curves. *Circulation*, 45: 461-476 1972
- 3- Gaasch, W.H., Cole , J.S., Quinones, M.A. and Alexander, J.K.: Dinamic determinates of ventricular diastolic pressure Volum relations in man. *Circulation*, 51: 317-323, 1975.
- 4- Diamond, G., and Forrester J.S.: Effect of coronary artery disease and acut myocar dial infaction on left ventricular compliance in man. *CirculaIion*, 45: 11-19, 1972.
- 5- Gaasch, W.H., Quinones, N.A., Waisser, E., Thiel, H.G., Alexander, J.K.: Diastolic compliance of the left ventricle in man. *Amer. J. Cardiol* 36: 193-201, 1975,
- 6- Dodge, H.T.: Determination of ventricular volume and mass. *Radiol. Clin. North. Amer.* 9: 459-467, 1971.
- 7- Hammermeister, K.E. and Warbasse, J.R.: The rate of change of left ventricular volum in man. II . diastolic events in healt and disease. *Circu ation*, 49: 739-747,1974
- 8- Dodge, H.T., Sandler, H., Ballew, D.W., and Lora, J.D.: The use of biplane angiocardiology for the measurement of lett ventiricular volume in man. *Am. Heart. J.* 60: 762-7776, 1960.
- 9- Dodge, H.T., Sandler, H., Baxley, W.A. and Howley, R.R.: Usefulness and limitations of radiographic metods for determinig left ventricula volume. *Amer. J. Cadiol.* 18: 10-24, 1966.
- 10- Greene, D.G., Corliste, R., Grant, C., and bunnel, I.L.: Estimation of ventricular volume by one, plane cineangiograhy, *Circulation* 35: 61-69, 1967.
- 11- Manolos, J., Ruteshauser, W. : Relation between apexcardiographc and internal indices of left ventricular relaxation in man. *Br. Heart's* 39: 1324-1332, 1977.
- 12- Legler, J.F., Benchimol, A., Diamond, E.G.: The apexcardiogram in the study of 2-OS internal. *Br. Heart. J.* 25: 246-250, 1963.
- 13- Voigt, G.C., Friesinger, G.C.: The use of apexcardiography in assesment of ventricular diastolic pressure *Circulation*. 41: 1015-1024, 1970.
- 14- Manolos, J., Krayenbuehl, H.P., Ruteshauser, W.: Use of apexcardiography to evaluate left ventricular diastolic compliiance in human beings. *Am. J. J. Cardiol.* 43: 939-944 1979.

- 15- Tye, K.H., Desser, K.B., Benchimol, A.: Relation between apexcardiographic a wave and posterior aortic wall motion Am. J. Cardiol. 43: 24-28, 1979.
- 16- Silverstre, A., Sandu, G., Desser, K.B., Benchimol, A.: Slow filling period/ rapid filling ratio in the apexcardiogram Relation to the diagnosis coronary disease Am. J. Cardiol. 42: 377-382, 1978.
- 17- Fortuin, N.J. and Craige, E.: On the mechanism of the Austin Flint murmur. Circulation. 45: 558, 1972.
- 18- Denys, G.B., Aubert, E.A., Denef, B., Werf, F.V., Kesteloot, H., Geest, H.: Non invazive determination of stiffness of the left ventricle by combined M. Mode Echo and apexcardiography Cardiology. 70: 263-272, 1987.
- 19- Gibson, T.C., Madry, R., Grossman, W., Mc Laurin, L.P., Craige, E.: The a wave of the apexcardiogram and left ventricular diastolic stiffness. Circulation. 49: 441-446, 1974.
- 20- Fukumoto, T., and Kesteloot, H.: Non invazive determination of left ventricular diastolic compliance Jap. Heart. J. 20: 461-467 1979.
- 21- Benchimol, A., Ellis, J.G.: A study of the period of isovolumic relaxation in normal subjects and in patients with heart disease Am. J. Cardiol. 19: 196-204, 1967.
- 22- Previtt, T., Gibson, D., Sutton, G.: The rapid filling wave of apex cardiographic and cineangiographic measurements of ventricular filling Br. Heart. J. 37: 1256-1262, 1975.
- 23- Kolev, N., Lengyel, M., Cserhalmi, L. and Romoda, T.: Combined Echo-apexcardiographic assessment of left ventricular function in cardiomyopathy. Jnp. Heart. J. 25: 477- 485, 1984.